# 染料敏化太阳能电池中聚合物电解质的优化

张昌能王 淼周晓文林 原方世璧李学萍肖绪瑞岑 况( 中国科学院化学研究所分子科学中心光化学重点实验室, 北京 100080; 中国地质大学(北京)地球科学与资源学院, 北京 100083.\* 联系人, E-mail: a1703@infoc3.iccas.ac.cn)

摘要 用纳晶 $TiO_2$ 及离子液体 1-甲基-3-丙基咪唑碘盐两种功能添加剂对PEO聚合物准固态电解质进行优化,提高了电池的光电性能. 用(PEO) $_8$ : LiI:  $TiO_2$ : IE:  $I_2$ =3:3:3:7:1(摩尔比)的电解质组装电池,在  $100 \text{ mW/cm}^2$ 光强下电池光电转换效率达到 3.2%,与无功能添加剂的电解质相比,光电转换效率提高 8 倍. 电解质体系的电导率研究表明,电池光电性能的提高与体系电导率的增大密切相关.

关键词 染料敏化太阳能电池 聚合物电解质 TiO<sub>2</sub>纳晶颗粒 离子液体 电导率

自 20 世纪 90 年代起、染料敏化纳晶TiO<sub>2</sub>太阳能 电池一直是国内外研究的热门课题[1-4]. 近年来液态 染料敏化太阳能电池光电转换效率已达到 7%~12%, 但由于液态电池的氧化还原电解质采用液态有机小 分子化合物溶剂, 其沸点低, 易挥发, 流动性大, 给 电池的密封和长期使用带来困难、采用聚合物电解 质替换液态电解质组装成固态染料敏化太阳能电池, 电池稳定性得到很大提高. 但由于电解质电导率低、 与电极界面浸润差等因素造成固态电池的光电转换 效率远不及液态电池. Katsaros等[5.6]在聚环氧乙烷 (PEO)电解质中加入纳晶TiO2作为增塑剂、降低了 PEO的结晶度、电池的光电转换效率达到 4.2%(光强 65.6 mW/cm<sup>2</sup>). 离子液体具有导电力强、沸点高、不 易挥发、物理和化学性质稳定、电化学窗口宽等优点、 将离子液体作为电解质应用于染料敏化太阳能电池 [7~11], 克服了液态电解质易挥发的缺点. Gratzel等将 离子液体用作染料敏化太阳能电池的电解质. 光电 转换效率达到 7%(光强 100 mW/cm<sup>2</sup>), 但其电解质的 流动性很大, 近乎流体, 不利于电池的密封.

聚合物PEO是一种常见的高分子材料,常被用于固体电解质体系;但室温下PEO结晶度高,离子输运速度慢,组装成电池的光电转换效率低.本文报道用无机纳晶 $TiO_2$ 和具有咪唑碘盐的离子液体作为功能添加剂,对含有 $I^{-}/I^{-}_3$ 的PEO电解质进行协同优化,改善了染料敏化太阳能电池的光电性能.

### 1 实验

( )染料敏化 $TiO_2$ 纳晶多孔薄膜电极及载铂对电极的制备. 采用溶胶-凝胶法并经水热处理制得  $TiO_2$ 胶体<sup>[12]</sup>,在导电玻璃(方块电阻 30  $\Omega$ )表面涂敷胶体,经 450 烧结 30 min后得到 $TiO_2$ 薄膜电极(约 7

- μm厚). 电极的敏化通过吸附红染料(顺二硫氰根-双(2,2'-联吡啶-4,4'二羧酸)合钌( )) 12 h进行. 载铂对电极采用热分解方法制备<sup>[13]</sup>.
- ( ) 聚合物电解质的制备. PEO ( $M_{\rm w}$  = 4000000), TiO<sub>2</sub>(P25, Degussa)和LiI(Sigma)分别在 50, 250, 200 条件下真空干燥 24 h,乙腈经分子筛处理后使用. 先将一定量的TiO<sub>2</sub>在搅拌下加入到 50 mL乙腈中,然后加入 0.1020 g LiI, 0.0631 g I<sub>2</sub>及一定量的离子液体 1-甲基-3-丙基咪唑碘盐,最后加入 0.2640 g PEO (P(EO)<sub>8</sub>: LiI: I<sub>2</sub> = 3:3:1,摩尔比),搅拌过夜,分散均匀后,在室温下使溶剂挥发至泥浆状备用.
- ( ) 准固态染料敏化TiO<sub>2</sub>纳晶电池的制备. 在 70 下将上述电解质涂敷在TiO<sub>2</sub>薄膜电极表面, 溶剂 挥发完全后、将载铂对电极覆于上面, 得到准固态电池.
- ()测量. 电池的光电性能采用循环伏安法于室温下测量,测量仪器为恒电位/恒电流仪(Model 273). 光源为 250 W卤钨灯,入射光强为 100 mW/cm²,光照面积为 0.2 cm². 电解质电导率采用阻抗法在 Solartron(1287(恒电位仪)/1255B(频率分析仪))上测量,测量频率为 1000 Hz.

### 2 结果与讨论

## 2.1 聚合物 PEO 电解质体系的电导率

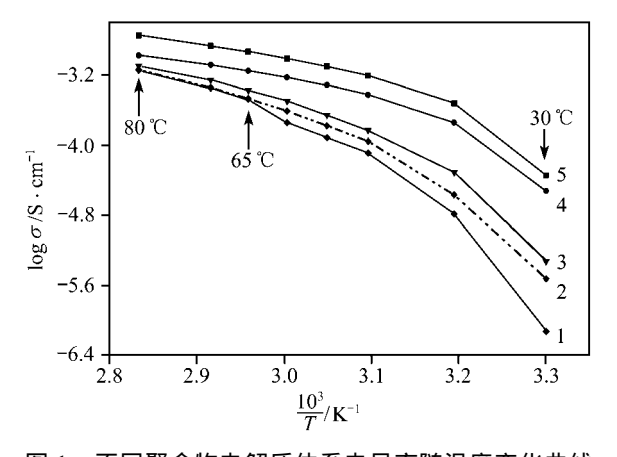
图 1 为PEO电解质的电导率 $\sigma$ -温度曲线. 当测量温度从 30 至 80 变化时,PEO电解质体系的电导率(曲线 1)逐渐增大,但 $\log \sigma$ 与 1/T并不成直线,表明高分子PEO电解质的导电机制不同于一般液态电解质中的离子传输机制. 随温度的升高,高分子体系由晶态向非晶态转化,这种转化对增大 $\sigma$ 有较大贡献. 经过升温处理的PEO/LiI+ $I_2$ 体系(曲线 2)仍能在一定的时间内保持非晶态,从而使得其电导率在低于PEO

www.scichina.com

的融熔温度(65)的温度范围内比未经升温处理的 PEO/LiI+I。体系的要高. 向PEO/LiI+I。体系中添加纳 晶TiO<sub>2</sub>(曲线 3)、TiO<sub>2</sub>颗粒嵌入PEO长链间使高分子 PEO的分形维度降低、体系的表面粗糙度增加、抑制 了PEO的结晶、从而增大了体系的电导率[5.6,14,15]; 在 高于PEO熔融温度时、TiOo的加入仍可增大体系的电 导率、表明纳晶TiO2的加入、不仅抑制PEO结晶、而 且TiO<sub>2</sub>颗粒与PEO长链形成的三维网络结构<sup>[5.6]</sup>为离 子的迁移提供了更大的运动空间, 促进了离子的输 运, 离子液体 1-甲基-3-丙基咪唑碘盐本身是一种电 解质、它的加入为PEO/LiI + I<sub>2</sub>体系提供了附加的导 电载流子、从而使体系的电导率大大增加、见曲线 4; 而且在温度较低时、载流子数目增加对其电导的影 响更为显著. 向有离子液体的电解质中再加入TiO<sub>2</sub> 还能进一步改善电解质的电导率(曲线 5)、表现出离 子液体和纳晶TiO。对高分子电解质体系电导率的协 同优化作用.

# 2.2 纳晶 $TiO_2$ 添加剂对电解质电导率及电池光电性能的优化

图 2 显示了聚合物电解质PEO/ $TiO_2$ 体系中 $TiO_2$ 含量对其电导率及电池光电性能的影响. 从图中可以看出,适量的 $TiO_2$ 使电解质的电导率、电池的短路光电流( $J_{sc}$ )和光电转换效率( $\eta$ )均得到提高. 当 $TiO_2$ 含量为 10%即 $P(EO)_8$ :  $TiO_2=1$ : 1 时,短路光电流、光电转换效率与电解质体系的电导率均达到最大;继续增加 $TiO_2$ 含量,由于 $TiO_2$ 的绝缘作用,电解质的电导率逐渐减小,短路光电流和光电转换效率也



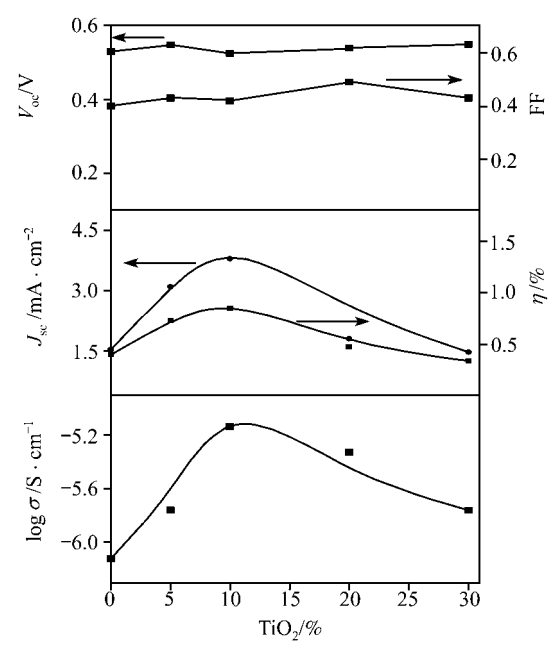


图 2  $TiO_2$ 含量与电解质电导率及电池光电参数的关系  $P(EO)_8: LiI: I_2 = 3:3:1, price 1$ 

随之下降. 染料敏化纳晶电池中, 电解质中的导电离子 $\Gamma/\Gamma_3$ 起着在 $TiO_2$ 工作电极和铂对电极间输运电荷的作用; 适量纳晶 $TiO_2$ 的加入提高了电解质的电导率, 使离子运动速度增加, 并且提高电解质与电极界面的稳定性, 从而使电池的光电性能得到提高. 但加入 $TiO_2$ 的聚合物电解质体系的电导率仍然较小, 使得电池内阻较大, 造成电池的填充因子FF较小. 因此纳晶 $TiO_2$ 的加入对电池光电性能虽有改善但仍不够理想.

# 2.3 离子液体添加剂对PEO/TiO₂电解质电导率及电池光电性能的优化

1242 www.scichina.com

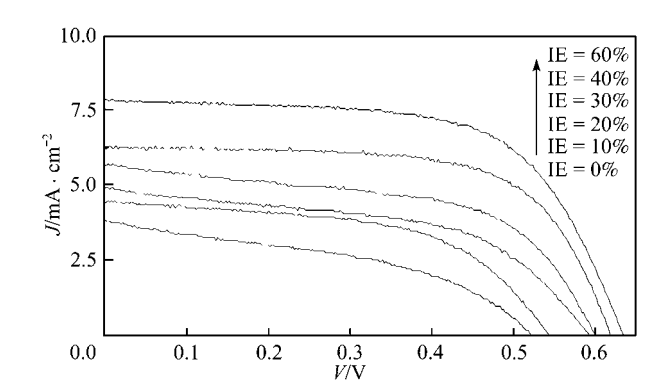


图 3 电解质中不同离子液体含量条件下电池 I-V 曲线图  $P(EO)_8: LiI: TiO_2: I_2=3:3:3:1,$  摩尔比

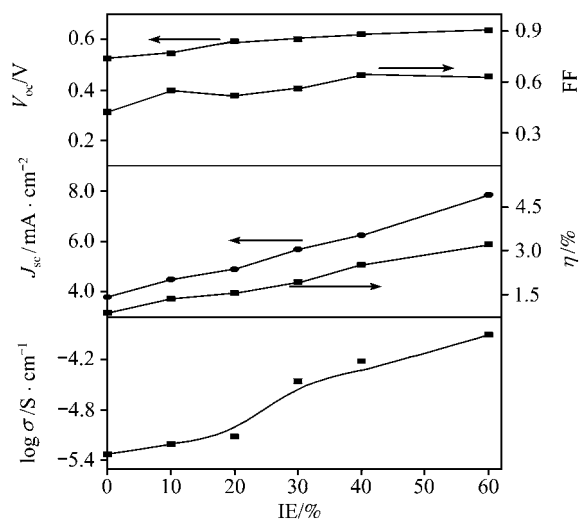


图 4 PEO/ TiO<sub>2</sub> + IE电解质中离子液体含量对电导率及电 池光电性能的影响

P(EO)<sub>8</sub>: LiI: TiO<sub>2</sub>: I<sub>2</sub>=3:3:3:1, 摩尔比

体,全面改善了电池的光电性能. 用 $P(EO)_8$ : LiI:  $TiO_2$ : IE:  $I_2$  = 3:3:3:7:1(摩尔比)的电解质组 装电池,在  $100~\text{mW/cm}^2$ 光强下电池光电转换效率达到 3.2%,与无功能添加剂的电解质相比,电池的光电转换效率提高 8~倍. 并且在不做任何密封状态下,电池的光电转换效率 15~天内基本不变.

用无机纳晶 $TiO_2$ 和不挥发、导电能力强的离子液体作为添加剂,对含有 $I^-/I^-_3$ 聚合物PEO电解质进行协同优化,发现在电解质中添加适量纳晶 $TiO_2$ 和进一步加入离子液体可显著改善电池光电性能;并且电池光电性能的提高与电解质体系导电性的增大密切相关.

致谢 本工作为国家重点基础研究发展规划(批准号: G2000028205)、中国科学院知识创新工程(批准号:

KGCX2-303) 、国家高技术研究发展计划(863 计划)(批准号: 2002AA302403)和国家自然科学基金创新群体 (批准号: 50221201) 资助项目.

### 参 考 文 献

- O'Regan B, Grätzel M. A low-cost, high-efficiency solar cell based on dye-sensitized colloidal TiO<sub>2</sub> films. Nature, 1991, 353: 737~739[DOI]
- Nazeeruddin M K, Kay A, Rodicio I, et al. Conversion of light to electricity by cis-X<sub>2</sub>bis(2,2'-bipyridyl-4,4'-dicarboxylate) ruthenium ( ) charge-transfer sensitizers (X = Cl<sup>-</sup>, Br<sup>-</sup>, l<sup>-</sup>, CN<sup>-</sup>, and SCN<sup>-</sup>) on nanocrystalline TiO<sub>2</sub> electrodes. J Am Chem Soc, 1993, 115(14): 6382~6390
- 3 Grätzel M. Photoelectrochemical cells. Nature, 2001, 414: 338~ 344[DOI]
- 4 Petra J C, Laurence M P. Characterization of titanium dioxide blocking layers in dye-sensitized nanocrystalline solar cells. J Phys Chem B, 2003, 107: 14394~14400[DOI]
- 5 Katsaros G, Stergiopoulos T, Arabatzis I M, et al. A solvent-free composite polymer/inorganic oxide electrolyte for high efficiency solid-state dye-sensitized solar cells. J Photochem Photobiol A: Chem, 2002, 149: 191~198[DOI]
- 6 Stergiopoulos T, Arabatzis I M, Katsaros G, et al. Binary polyethylene oxide/titania solid-state redox electrolyte for highly efficient nanocrystalline TiO<sub>2</sub> photoelectrochemical cells. Nano Letters, 2002, 2: 1259~1261[DOI]
- Wang P, Zakeeruddin S M, Exnar I, et al. High efficiency dyed-sensitized nanocrystalline solar cells based on ionic liquid polymer gel electrolyte. Chem comm, 2002, 2972~2973
- 8 Papageorgiou N, Athanassov Y, Armand M, et al. The performance and stability of ambient temperature molten salts for solar cell applications. J Electrochem Soc, 1996, 143: 3099~3108
- 9 Wang P, Zakeeruddin S M, Comte P, et al. Gelation of ionic liquid-based electrolytes with silica nanoparticles for quasi-solid-state dye-sensitized solar cells. J Am Chem Soc, 2003, 125: 1166~1167[DOI]
- 10 Wang P, Shaik M Z, Robin H, et al. Molecular-scale interface engineering of TiO<sub>2</sub> nanocrystals: improving the efficiency and stability of dye-sensitized solar cells. Advanced Materials, 2003 15: 2101~2103[DOI]
- 11 Wataru K, Shingo K, shogo N, et al. Photocurrent-determining processes in Quasi-solid-state dye-sensitized solar cells using ionic gel electrolytes. J Phys Chem B, 2003, 107: 4374~4381[DOI]
- 12 Zaban A, Ferrere S, Sprague J, et al. PH-dependent redox potential induced in a sensitizing dye by adsorption onto  $TiO_2$ . J Phys Chem , 1997, 101:  $55{\sim}57$
- 13 李维盈, 康俊杰, 李学萍, 等. 聚硅氧烷凝胶网络电解质准固态 TiO<sub>2</sub>纳晶太阳电池. 科学通报, 2003, 48(2): 129~131
- 14 Croce F, Appetecchi G B, Persi L, et al. Nanocomposite polymer electrolytes for lithium batteries. Nature, 1998, 394: 456~458[DOI]
- 15 Croce F, Curini R, Persi M L, et al. Physical and chemical properties of nanocomposite polymer electrolytes. J Phys Chem B, 1999, 103: 10632~10638[DOI]

(2003-12-23 收稿, 2004-04-09 收修改稿)

www.scichina.com